

! Tuskowski 23.07.2020
01.6221.2.18.2020

Poznań, dn. 2020-06-29

05

T-Mobile Polska S.A.
ul. Marynarska 12
02-674 Warszawa
Pełnomocnik: Krzysztof Ekiert
Pełnomocnictwo numer: 3571/10/16
z dnia: 2016-10-15



dane do korespondencji:
NetWorkS! Sp. z o.o.
ul. Marynarki Polskiej 163
80-868 Gdańsk
tel. 604470350

Starostwo Powiatowe w Gorzowie Wlkp.
Ul. Pankiewicza 5-7
66-400 Gorzów Wlkp.

Dotyczy: ustawowego obowiązku, wynikającego z art. 152 ust. 1 i ust. 7 w związku z ust. 6 pkt 1c ustawy z dnia 27 kwietnia 2001r – Prawo ochrony środowiska (Dz.U. z 2019r. poz.1396 z późn. zm.).

Działając z upoważnienia T-Mobile Polska S.A. z siedzibą ul. Marynarska 12, 02-674 Warszawa, informuję o zmianie danych w zakresie wielkości i rodzaju emisji dla stacji bazowej **42117 (62117N!) PGO_DESZCZNO_POZNANSKIE** zlokalizowanej w miejscowości DESZCZNO, OSIEDLE POZNAŃSKIE-CMENTARNA dz. 24/2. W stosunku do informacji zawartej w zgłoszeniu realizowanym dla tej stacji w trybie art. 152 ust. 1 i 5 ustawy z dnia 27 kwietnia 2001r – Prawo ochrony środowiska (Dz.U. z 2019r. poz.1396 z późn. zm.), dane ulegają zmianie w następujący sposób:

9. Wielkość i rodzaj emisji²⁾:

Pole elektromagnetyczne. EIRP poszczególnych anten zostało podane w pkt 12, tj.

Lp.	Równoważna moc promieniowana izotropowo (EIRP) [W]
1.	9824.0
2.	9829.0
3.	9824.0
4.	9829.0
5.	9824.0
6.	9829.0
7.	3.5
8.	575.4
9.	7079.5
10.	760.4

12. Szczegółowe dane, odpowiednio do rodzaju instalacji, zgodne z wymaganiami określonymi w załączniku nr 2 do Rozporządzenia:

Lp. ³⁾	1)	2)	3)	4)	5)	
	Współrzędne geograficzne	Częstotliwość lub zakresy częstotliwości pracy instalacji [MHz]	Wysokość środka elektrycznego anteny [m n.p.t]	Równoważna moc promieniowana izotropowo (EIRP) [W]	Azymut [°]	Zakres kątów pochylenia [°]
1.	52°42'04.9"N 15°18'21.7"E	UMTS 900/ UMTS 2100/ LTE 2100/ LTE 1800/ GSM 900	39.5	9824.0	60	5/ 6/ 6/ 6/ 5
2.	52°42'04.9"N 15°18'21.7"E	LTE 800/ LTE 2600	39.5	9829.0	60	6/ 7
3.	52°42'04.9"N 15°18'21.7"E	UMTS 900/ UMTS 2100/ LTE 2100/ LTE 1800/ GSM 900	39.5	9824.0	180	5/ 6/ 6/ 6/ 5
4.	52°42'04.9"N 15°18'21.7"E	LTE 800/ LTE 2600	39.5	9829.0	180	6/ 7
5.	52°42'04.9"N 15°18'21.7"E	UMTS 900/ UMTS 2100/ LTE 2100/ LTE 1800/ GSM 900	39.5	9824.0	300	6/ 8/ 8/ 8/ 6
6.	52°42'04.9"N 15°18'21.7"E	LTE 800/ LTE 2600	39.5	9829.0	300	7/ 8
7.	52°42'04.9"N 15°18'21.7"E	38000	43.0	3.5	99	nd.
8.	52°42'04.9"N 15°18'21.7"E	38000	43.0	575.4	183	nd.
9.	52°42'04.9"N 15°18'21.7"E	80000	43.2	7079.5	218	nd.
10.	52°42'04.9"N 15°18'21.7"E	23000	43.5	760.4	218	nd.

*) tolerancja azymutu od -10° do +10°.

Informuję, iż dokonane zmiany w zakresie wielkości i rodzaju emisji przedmiotowej instalacji nie powodują zmiany instalacji w sposób istotny zgodnie z art. 3 pkt 7 ustawy Poś.

Jednocześnie informuję, iż analizowane przedsięwzięcie nadal **nie kwalifikuje się** do przedsięwzięć mogących znacząco oddziaływać na środowisko biorąc pod uwagę, iż w osi głównych wiązek promieniowania anten sektorowych w odległościach podanych w Rozporządzeniu Rady Ministrów z dnia 10 września 2019r. w sprawie przedsięwzięć mogących znacząco oddziaływać na środowisko /Dz.U. 2019 poz. 1839 ze zm./ nie znajdują się miejsca dostępne dla ludności.

Krzysztof Ekiert



W załączniku przesyłam:

1. Pełnomocnictwo
2. Kopia potwierdzenia wniesienia opłaty skarbowej.

Otrzymują:

1. a/a
2. adresat



Laboratorium Badań Środowiskowych
ul. Kasprzaka 18/20
01-211 Warszawa
e-mail: Laboratorium@networks.pl



AB 419

S P R A W O Z D A N I E 2856/2020/OS
Z POMIARÓW PÓL ELEKTROMAGNETYCZNYCH
WYKONANYCH DLA POTRZEB OCHRONY ŚRODOWISKA

Badany obiekt: Instalacja radiokomunikacyjna T-Mobile Polska S.A.
Numer i nazwa: 42117 (62117N!) PGO_DESZCZNO_POZNANSKIE
Adres: DESZCZNO, OSIEDLE POZNAŃSKIE-CMENTARNA DZ 24/2, Powiat gorzowski,
WOJ. LUBUSKIE

Data wykonania pomiarów: 2020-07-02

Sprawozdanie z badań bez pisemnej zgody laboratorium nie może być powielane inaczej niż w całości.
Wynik przedstawione w niniejszym sprawozdaniu odnoszą się wyłącznie do badanego obiektu i do warunków i konfiguracji urządzeń w dniu wykonywania pomiarów.

1. Właściciel badanego obiektu:

T-Mobile Polska S.A., ul. Marynarska 12, 02-674 Warszawa

2. Zleceniodawca:

T-Mobile Polska S.A., ul. Marynarska 12, 02-674 Warszawa

3. Przedstawiciel zleceniodawcy:

Smoliński Krzysztof, **NetWorkS! Sp.z o.o.**

4. Zakres zlecenia:

Wykonanie badania i opracowanie sprawozdania z pomiarów natężenia pola elektrycznego i pola magnetycznego dla instalacji radiokomunikacyjnej T-Mobile Polska S.A. zlokalizowanej w miejscowości DESZCZNO, OSIEDLE POZNAŃSKIE-CMENTARNA DZ 24/2.

5. Cel zlecenia:

Wykonanie pomiarów pól elektromagnetycznych w otoczeniu instalacji radiokomunikacyjnej 42117 (62117N!) PGO_DESZCZNO_POZNANSKIE w odniesieniu do wymagań określonych w *Rozporządzeniu Ministra Klimatu z dnia 17 lutego 2020 r. w sprawie sposobów sprawdzania dotrzymania dopuszczalnych poziomów pól elektromagnetycznych w środowisku (Dz. U. 2020, poz. 258)*.

6. Pomiary zostały wykonane przez:

Ciesielski Daniel
Pawlak Ariel

7. Informacje o źródłach pól elektromagnetycznych

7.1. Sposób identyfikacji badanych źródeł pól elektromagnetycznych

Identyfikacji źródeł i parametrów technicznych dokonano na podstawie analizy dokumentacji dotyczącej zlecenia oraz obserwacji miejsca wykonywania badań.

7.2. Opis miejsca zainstalowania anten i urządzeń technicznych. Opis obiektu badań i jego otoczenia

Instalacja radiokomunikacyjna zlokalizowana jest na terenie ogrodzonym. Anteny zawieszono na wieży kratowej. Urządzenia sterujące oraz zasilające zainstalowano w kontenerze u podstawy wieży. Wokół instalacji tereny zielone.

Instalacja radiokomunikacyjna jest obiektem bezobsługowym. Okresowe stanowiska pracy związane są z prowadzonymi w zależności od potrzeb konserwacjami, przeglądami, strojeniem i naprawami.

7.3. Parametry techniczne źródła pola elektromagnetycznego

Dane przedstawiające maksymalne parametry pracy instalacji przekazane przez zleceniodawcę:

Parametry systemu nadawczo-odbiorczego:

Charakterystyka promieniowania		kierunkowa					
Rzeczywisty czas pracy [h/dobę]		24					
Warunki pracy		znamionowe					
Rodzaj wytwarzanego pola		stacjonarne					
Lp.	Częstotliwość lub zakresy częstotliwości pracy [MHz]	Typ/producent anteny	liczba anten	Azymut [°]	kąt pochylenia [°]	Wysokość środka elektrycznego anteny [m n.p.t.]	Równoważna moc promieniowana izotropowo (EIRP) [W]
1	LTE 2100/ LTE 1800/ UMTS 900/ UMTS 2100/ GSM 900	ATR4518R11v06 Huawei	1	60	6/ 6/ 5/ 6/ 5	39.5	9824
2	LTE 800/ LTE 2600	ATR4518R11v06 Huawei	1	60	6/ 7	39.5	9829
3	UMTS 2100/ GSM 900/ LTE 1800/ UMTS 900/ LTE 2100	ATR4518R11v06 Huawei	1	180	6/ 5/ 6/ 5/ 6	39.5	9824
4	LTE 2600/ LTE 800	ATR4518R11v06 Huawei	1	180	7/ 6	39.5	9829
5	LTE 2100/ UMTS 2100/ UMTS 900/ LTE 1800/ GSM 900	ATR4518R11v06 Huawei	1	300	8/ 8/ 6/ 8/ 6	39.5	9824
6	LTE 800/ LTE 2600	ATR4518R11v06 Huawei	1	300	7/ 8	39.5	9829

Parametry radiolinii:

Charakterystyka promieniowania		kierunkowa					
Rzeczywisty czas pracy [h/dobę]		24					
Warunki pracy		znamionowe					
Rodzaj wytwarzanego pola		stacjonarne					
Lp.	Linia radiowa			Antena			
	Typ/ Producent	Częstotliwość pracy [GHz]	Równoważna moc promieniowana izotropowo (EIRP) [W]*	Typ/ producent	Srednica anteny [m]	Azymut [°]	Wysokość zainstalowania n.p.t. [m]
1	NEC iPasolink 100E	38	3.5	VHLP1-38 Andrew	0.3	99	43
2	WTM 3100 38GHz 7MHz Harris Stratex	38	575.4	VHLP1-38 Andrew	0.3	183	43
3	NP ERICSSON ML 6352 R2+ 70/80GHz 250MHz Ericsson	80	7079.5	UKY 230 42/14H Ericsson	0.6	218	43.2
4	NP CTR 600 23GHz 2x28MHz XPIC Harris Stratex	23	760.4	VHLP1-23 Andrew	0.3	218	43.5

7.4 Inne źródła pól elektromagnetycznych

Na podstawie informacji otrzymanych od użytkownika oraz obserwacji otoczenia miejsca wykonywania pomiarów oraz dokumentacji nie stwierdzono występowania innych źródeł promieniowania elektromagnetycznego, które w zakresie badanych częstotliwości mogą bezpośrednio wpływać na wynik wartości mierzonej.

Sprawozdanie z badań bez pisemnej zgody laboratorium nie może być powielane inaczej niż w całości. Wynik przedstawione w niniejszym sprawozdaniu odnoszą się wyłącznie do badanego obiektu i do warunków i konfiguracji urządzeń w dniu wykonywania pomiarów.

8. Opis pomiarów

8.1. Metoda badań

Rozporządzeniem Ministra Klimatu z dnia 17 lutego 2020 r. w sprawie sposobów sprawdzania dotrzymania dopuszczalnych poziomów pól elektromagnetycznych w środowisku (Dz. U. 2020, poz. 258), określona w pkt 25 ppkt 1 załącznika do niniejszego rozporządzenia.

8.2. Termin pomiarów i warunki środowiskowe

Podczas wykonywania pomiarów pól elektromagnetycznych nie występowały opady atmosferyczne. Wyniki pomiaru parametrów pogodowych przedstawia poniższa tabela:

Data [rrrr-mm-dd]	Godzina [hh:mm-hh:mm]	Warunki środowiskowe			
		Temperatura [°C]		Wilgotność względna [%]	
		Przed pomiarem	Po pomiarach	Przed pomiarem	Po pomiarach
2020-07-02	8:55-9:55	20.5	20.5	68.6	68.4

8.3. Warunki pracy urządzeń nadawczych

Podczas pomiarów zostały uwzględnione poprawki pomiarowe przekazane przez zleceniodawcę, umożliwiające uwzględnienie maksymalnych parametrów pracy instalacji zgodnie z pkt 7 załącznika do Rozporządzeniem Ministra Klimatu z dnia 17 lutego 2020 r. w sprawie sposobów sprawdzania dotrzymania dopuszczalnych poziomów pól elektromagnetycznych w środowisku (Dz. U. 2020, poz. 258).

8.4. Wyposażenie pomiarowe

Zestaw pomiarowy służący do pomiaru natężenia składowej elektrycznej pola elektromagnetycznego złożony z szerokopasmowego miernika i sondy pomiarowej:

Oznaczenie miernika	Producent	Model	Numer fabryczny	Oznaczenie sondy	Producent	Model	Numer fabryczny
M-17	Narda Safety Test Solution	Miernik pól elektromagnetycznych NBM-550	H-0128	S-17	Narda Safety Test Solution	Sonda EF-9091	A-0056

Mierniki natężenia pola elektromagnetycznego podlegają okresowemu sprawdzeniu zgodnie z procedurą wewnętrzną P-03 i PB-01. Świadectwo wzorcowania zestawu pomiarowego z dnia 10 kwietnia 2019 o numerze LWiMP/W/121/19 wydane przez Laboratorium Wzorców i Metrologii Pola Elektromagnetycznego (LWiMP) Politechniki Wrocławskiej.
Data ważności świadectwa wzorcowania: 10 kwietnia 2021 (zgodnie z procedurą wewnętrzną P-03).

Oznaczenie miernika	Producent	Model	Numer fabryczny	Oznaczenie sondy	Producent	Model	Numer fabryczny
M-17	Narda Safety Test Solution	Miernik pól elektromagnetycznych NBM-550	H-0128	S-18	Narda Safety Test Solution	Sonda EF-0391	D-1437

Mierniki natężenia pola elektromagnetycznego podlegają okresowemu sprawdzeniu zgodnie z procedurą wewnętrzną P-03 i PB-01. Świadectwo wzorcowania zestawu pomiarowego z dnia 10 kwietnia 2019 o numerze LWiMP/W/121/19 wydane przez Laboratorium Wzorców i Metrologii Pola Elektromagnetycznego (LWiMP) Politechniki Wrocławskiej.
Data ważności świadectwa wzorcowania: 10 kwietnia 2021 (zgodnie z procedurą wewnętrzną P-03).

Termohigrometr:

Oznaczenie:	TH-14	Producent:	AZ INSTRUMENT CORP	Model:	Termohigrometr AZ8706
-------------	-------	------------	--------------------	--------	-----------------------

Data ważności świadectwa wzorcowania: 21 grudnia 2020 (zgodnie z procedurą wewnętrzną P-03).

Dalmierz:

Oznaczenie	Producent	Typ	Numer seryjny	Nr świadectwa wzorcowania	Data świadectwa wzorcowania
D-01	Leica	Dalmierz laserowy	0843810238	1146.7-M11-4180-396/15	8 kwietnia 2015

Data ważności świadectwa wzorcowania: 8 kwietnia 2025 (zgodnie z procedurą wewnętrzną P-03).

8.5. Znaki ostrzegawcze

Urządzenia nadawcze oraz obszar wokół obiektu oznaczono symbolami zgodnymi z PN-74/T – 06260. Źródła promieniowania elektromagnetycznego – Znaki ostrzegawcze.

Sprawozdanie z badań bez pisemnej zgody laboratorium nie może być powielane inaczej niż w całości.
Wynik przedstawione w niniejszym sprawozdaniu odnoszą się wyłącznie do badanego obiektu i do warunków i konfiguracji urządzeń w dniu wykonywania pomiarów.

9. Wyniki pomiarów

Pole elektryczne

Nr pionu	Opis umiejscowienia pionu (punktu) pomiarowego	Wysokość pomiaru [m]	Zmierzona wartość natężenia pola elektrycznego E [V/m] ^{1,6}			Wartość natężenia pola elektrycznego po uwzględnieniu poprawek pomiarowych powiększona o niepewność pomiaru ⁵ E [V/m]	Wskaźnikowa wartość poziomu emisji pól elektromagnetycznych WMe ⁴	Współrzędne geograficzne pionu (punktu) pomiarowego ³
			Sonda S-17	Sonda S-18	SUMA			
1	GKP 60°, 5m od trzonu wieży	0,3-2,0	<1,0*	<1,0*	<1,0*	2.3	0.08	52°42'4,9" 15°18'21,9"
2	GKP 60°, 25m od trzonu wieży	0,3-2,0	<1,0*	<1,0*	<1,0*	2.3	0.08	52°42'5,2" 15°18'22,8"
3	GKP 60°, 45m od trzonu wieży	0,3-2,0	<1,0*	<1,0*	<1,0*	2.3	0.08	52°42'5,5" 15°18'23,7"
4	GKP 60°, 65m od trzonu wieży	0,3-2,0	<1,0*	<1,0*	<1,0*	2.3	0.08	52°42'5,8" 15°18'24,6"
5	GKP 60°, 85m od trzonu wieży	0,3-2,0	<1,0*	<1,0*	<1,0*	2.3	0.08	52°42'6,1" 15°18'25,5"
6	GKP 99°, 5m od trzonu wieży	0,3-2,0	<1,0*	<1,0*	<1,0*	2.3	0.08	52°42'4,7" 15°18'21,9"
7	GKP 99°, 25m od trzonu wieży	0,3-2,0	<1,0*	<1,0*	<1,0*	2.3	0.08	52°42'4,7" 15°18'23,0"
8	GKP 180 i 183°, 5m od trzonu wieży	0,3-2,0	<1,0*	<1,0*	<1,0*	2.3	0.08	52°42'4,6" 15°18'21,7"
9	GKP 180 i 183°, 25m od trzonu wieży	0,3-2,0	<1,0*	<1,0*	<1,0*	2.3	0.08	52°42'4,0" 15°18'21,7"
10	GKP 180°, 45m od trzonu wieży	0,3-2,0	<1,0*	<1,0*	<1,0*	2.3	0.08	52°42'3,4" 15°18'21,7"
11	GKP 180°, 65m od trzonu wieży	0,3-2,0	<1,0*	<1,0*	<1,0*	2.3	0.08	52°42'2,7" 15°18'21,7"
12	GKP 180°, 85m od trzonu wieży	0,3-2,0	<1,0*	<1,0*	<1,0*	2.3	0.08	52°42'2,1" 15°18'21,7"
13	GKP 218°, 5m od trzonu wieży	0,3-2,0	<2,7*	<1,0*	<2,7*	6.1	0.22	52°42'4,6" 15°18'21,5"
14	GKP 218°, 25m od trzonu wieży	0,3-2,0	<2,7*	<1,0*	<2,7*	6.1	0.22	52°42'4,2" 15°18'20,9"
15	GKP 218°, 45m od trzonu wieży	0,3-2,0	<2,7*	<1,0*	<2,7*	6.1	0.22	52°42'3,7" 15°18'20,3"
16	GKP 218°, 65m od trzonu wieży	0,3-2,0	<2,7*	<1,0*	<2,7*	6.1	0.22	52°42'3,1" 15°18'19,6"
17	GKP 218°, 85m od trzonu wieży	0,3-2,0	<2,7*	<1,0*	<2,7*	6.1	0.22	52°42'2,7" 15°18'19,0"
18	GKP 300°, 5m od trzonu wieży	0,3-2,0	<1,0*	<1,0*	<1,0*	2.3	0.08	52°42'4,9" 15°18'21,4"
19	GKP 300°, 25m od trzonu wieży	0,3-2,0	<1,0*	<1,0*	<1,0*	2.3	0.08	52°42'5,2" 15°18'20,5"
20	GKP 300°, 45m od trzonu wieży	0,3-2,0	<1,0*	<1,0*	<1,0*	2.3	0.08	52°42'5,5" 15°18'19,7"
21	GKP 300°, 65m od trzonu wieży	0,3-2,0	<1,0*	<1,0*	<1,0*	2.3	0.08	52°42'5,9" 15°18'18,8"
22	GKP 300°, 85m od trzonu wieży	0,3-2,0	<1,0*	<1,0*	<1,0*	2.3	0.08	52°42'6,2" 15°18'17,9"
-	GKP 60°, 200m od anten sektorowych	0,3-2,0	<1,0*	<1,0*	<1,0*	2.3	0.08	52°42'8,0" 15°18'30,7"
-	GKP 60°, 400m od anten sektorowych	0,3-2,0	<1,0*	<1,0*	<1,0*	2.3	0.08	52°42'11,3" 15°18'39,6"
-	GKP 180°, 200m od anten sektorowych	0,3-2,0	<1,0*	<1,0*	<1,0*	2.3	0.08	52°41'58,3" 15°18'21,7"
-	GKP 180°, 400m od anten sektorowych	0,3-2,0	<1,0*	<1,0*	<1,0*	2.3	0.08	52°41'51,9" 15°18'21,7"
-	GKP 300°, 200m od anten sektorowych	0,3-2,0	<1,0*	<1,0*	<1,0*	2.3	0.08	52°42'8,0" 15°18'12,7"
-	GKP 300°, 400m od anten sektorowych	0,3-2,0	<1,0*	<1,0*	<1,0*	2.3	0.08	52°42'11,3" 15°18'3,8"

Sprawozdanie z badań bez pisemnej zgody laboratorium nie może być powielane inaczej niż w całości.
Wynik przedstawione w niniejszym sprawozdaniu odnoszą się wyłącznie do badanego obiektu i do warunków i konfiguracji urządzeń w dniu wykonywania pomiarów.

Pole magnetyczne (wyznaczone na podstawie pomiaru wartości natężenia pola elektrycznego)

Nr pionu	Opis umiejscowienia pionu (punktu) pomiarowego	Wysokość pomiaru [m]	Zmierzona wartość natężenia pola magnetycznego H [A/m] ¹			Wartość natężenia pola magnetycznego po uwzględnieniu poprawek pomiarowych powiększona o niepewność pomiaru ² H [A/m] ²	Wskaźnikowa wartość poziomu emisji pól elektromagnetycznych WM _E ⁴	Współrzędne geograficzne pionu (punktu) pomiarowego ³
			Sonda S-17	Sonda S-18	SUMA			
1	GKP 60°, 5m od trzonu wieży	0,3-2,0	<0.003*	<0.003*	<0.003*	0.006	0.08	52°42'4,9" 15°18'21,9"
2	GKP 60°, 25m od trzonu wieży	0,3-2,0	<0.003*	<0.003*	<0.003*	0.006	0.08	52°42'5,2" 15°18'22,8"
3	GKP 60°, 45m od trzonu wieży	0,3-2,0	<0.003*	<0.003*	<0.003*	0.006	0.08	52°42'5,5" 15°18'23,7"
4	GKP 60°, 65m od trzonu wieży	0,3-2,0	<0.003*	<0.003*	<0.003*	0.006	0.08	52°42'5,8" 15°18'24,6"
5	GKP 60°, 85m od trzonu wieży	0,3-2,0	<0.003*	<0.003*	<0.003*	0.006	0.08	52°42'6,1" 15°18'25,5"
6	GKP 99°, 5m od trzonu wieży	0,3-2,0	<0.003*	<0.003*	<0.003*	0.006	0.08	52°42'4,7" 15°18'21,9"
7	GKP 99°, 25m od trzonu wieży	0,3-2,0	<0.003*	<0.003*	<0.003*	0.006	0.08	52°42'4,7" 15°18'23,0"
8	GKP 180 i 183°, 5m od trzonu wieży	0,3-2,0	<0.003*	<0.003*	<0.003*	0.006	0.08	52°42'4,6" 15°18'21,7"
9	GKP 180 i 183°, 25m od trzonu wieży	0,3-2,0	<0.003*	<0.003*	<0.003*	0.006	0.08	52°42'4,0" 15°18'21,7"
10	GKP 180°, 45m od trzonu wieży	0,3-2,0	<0.003*	<0.003*	<0.003*	0.006	0.08	52°42'3,4" 15°18'21,7"
11	GKP 180°, 65m od trzonu wieży	0,3-2,0	<0.003*	<0.003*	<0.003*	0.006	0.08	52°42'2,7" 15°18'21,7"
12	GKP 180°, 85m od trzonu wieży	0,3-2,0	<0.003*	<0.003*	<0.003*	0.006	0.08	52°42'2,1" 15°18'21,7"
13	GKP 218°, 5m od trzonu wieży	0,3-2,0	<0.007*	<0.003*	<0.007*	0.016	0.22	52°42'4,6" 15°18'21,5"
14	GKP 218°, 25m od trzonu wieży	0,3-2,0	<0.007*	<0.003*	<0.007*	0.016	0.22	52°42'4,2" 15°18'20,9"
15	GKP 218°, 45m od trzonu wieży	0,3-2,0	<0.007*	<0.003*	<0.007*	0.016	0.22	52°42'3,7" 15°18'20,3"
16	GKP 218°, 65m od trzonu wieży	0,3-2,0	<0.007*	<0.003*	<0.007*	0.016	0.22	52°42'3,1" 15°18'19,6"
17	GKP 218°, 85m od trzonu wieży	0,3-2,0	<0.007*	<0.003*	<0.007*	0.016	0.22	52°42'2,7" 15°18'19,0"
18	GKP 300°, 5m od trzonu wieży	0,3-2,0	<0.003*	<0.003*	<0.003*	0.006	0.08	52°42'4,9" 15°18'21,4"
19	GKP 300°, 25m od trzonu wieży	0,3-2,0	<0.003*	<0.003*	<0.003*	0.006	0.08	52°42'5,2" 15°18'20,5"
20	GKP 300°, 45m od trzonu wieży	0,3-2,0	<0.003*	<0.003*	<0.003*	0.006	0.08	52°42'5,5" 15°18'19,7"
21	GKP 300°, 65m od trzonu wieży	0,3-2,0	<0.003*	<0.003*	<0.003*	0.006	0.08	52°42'5,9" 15°18'18,8"
22	GKP 300°, 85m od trzonu wieży	0,3-2,0	<0.003*	<0.003*	<0.003*	0.006	0.08	52°42'6,2" 15°18'17,9"

Sprawozdanie z badań bez pisemnej zgody laboratorium nie może być powielane inaczej niż w całości.
Wynik przedstawione w niniejszym sprawozdaniu odnoszą się wyłącznie do badanego obiektu i do warunków i konfiguracji urządzeń w dniu wykonywania pomiarów.

-	GKP 60°, 200m od anten sektorowych	0,3-2,0	<0.003*	<0.003*	<0.003*	0.006	0.08	52°42'8,0" 15°18'30,7"
-	GKP 60°, 400m od anten sektorowych	0,3-2,0	<0.003*	<0.003*	<0.003*	0.006	0.08	52°42'11,3" 15°18'39,6"
-	GKP 180°, 200m od anten sektorowych	0,3-2,0	<0.003*	<0.003*	<0.003*	0.006	0.08	52°41'58,3" 15°18'21,7"
-	GKP 180°, 400m od anten sektorowych	0,3-2,0	<0.003*	<0.003*	<0.003*	0.006	0.08	52°41'51,9" 15°18'21,7"
-	GKP 300°, 200m od anten sektorowych	0,3-2,0	<0.003*	<0.003*	<0.003*	0.006	0.08	52°42'8,0" 15°18'12,7"
-	GKP 300°, 400m od anten sektorowych	0,3-2,0	<0.003*	<0.003*	<0.003*	0.006	0.08	52°42'11,3" 15°18'3,8"

GKP – Główny Kierunek Pomiarowy

¹ wyniki oznaczone * są wynikami poniżej czułości zestawu pomiarowego

² wartość wyznaczona na podstawie pomiaru wartości skutecznej natężenia pola elektrycznego, z zależności: $H=E/377$

³ współrzędne geograficzne pozyskane metodą obliczeniową w oparciu o pomiar punktu referencyjnego, z dokładnością nie gorszą niż wymaganą w ZoE

⁴ do wyznaczenia wartości wskaźnikowej WM_E i WM_H przyjęto na podstawie uzgodnień z klientem oraz rozpoznania źródeł, jako wartości dopuszczalne pola elektrycznego i magnetycznego odpowiednio 28 V/m i 0,073 A/m.

⁵ do wyznaczenia niepewności dla wyników poniżej czułości zestawu pomiarowego, przyjęto niepewność dla minimalnej wartości z zakresu pomiarowego.

⁶ maksymalna wartość chwilowa

Niepewność oszacowano zgodnie z dokumentem P-03 „Procedura nadzoru nad wyposażeniem” w postaci niepewności rozszerzonej wynikającej z niepewności standardowej pomnożonej przez współczynnik rozszerzenia $k=2$.

Całkowita szacowana niepewność rozszerzona składowej E wynosi odpowiednio:

sonda S-17: 28.8% dla częstotliwości do 3 GHz, sonda S-18: 26.2% dla częstotliwości do 3 GHz

Wyniki oznaczone podkreśleniem dotyczą pomiaru dla częstotliwości pola EM – 80 GHz, dla którego granica wykrywalności wynosi $<2.7 \cdot V/m$

Dla przedmiotowych pomiarów zleceniodawca określił poprawkę pomiarową = 1.75.

Umiejscowienie pionów (punktów) pomiarowych przedstawiono w nr 2 do niniejszego sprawozdania.

10. Omówienie wyników pomiarów

Pomiary zostały wykonane:

1. na głównych i pomocniczych kierunkach pomiarowych, na kierunkach zbliżonych do azymutów anten oraz w dodatkowych pionach pomiarowych zgodnie z wymaganiami pkt 12, 13, 14 i 19 załącznika do rozporządzenia Ministra Klimatu z dnia 17 lutego 2020 r. (Dz. U. 2020, poz. 258),
2. na obszarze pomiarowym, dla którego, na podstawie uprzednio wykonanych obliczeń uzyskanych od zleceniodawcy, stwierdzono możliwość występowania pól elektromagnetycznych o poziomach zbliżonych do poziomów dopuszczalnych zgodnie z wymaganiami pkt 5 ppkt 2 oraz pkt 13 ppkt 1 załącznika do rozporządzenia Ministra Klimatu z dnia 17 lutego 2020 r. (Dz. U. 2020, poz. 258).
3. na terenach przeznaczonych pod zabudowę mieszkaniową oraz w miejscach dostępnych dla ludności.

Wyniki pomiarów uzyskane zostały przy uwzględnieniu poprawek pomiarowych przekazanych przez zleceniodawcę, umożliwiających uwzględnienie maksymalnych parametrów pracy instalacji.

W wyniku zastosowania sposobu sprawdzenia dotrzymania dopuszczalnych poziomów pól elektromagnetycznych w środowisku, zgodnie pkt 25 ppkt 1 Rozporządzenia Ministra Klimatu z dnia 17 lutego 2020 r. (Dz. U. 2020, poz. 258), stwierdza się, że w obszarze pomiarowym dla instalacji radiokomunikacyjnej 42117 (62117N!) PGO_DESZCZNO_POZNANSKIE dopuszczalne poziomy pól elektromagnetycznych w środowisku należy uznać za dotrzymane.

Sprawozdanie z badań bez pisemnej zgody laboratorium nie może być powielane inaczej niż w całości.

Wynik przedstawione w niniejszym sprawozdaniu odnoszą się wyłącznie do badanego obiektu i do warunków i konfiguracji urządzeń w dniu wykonywania pomiarów.

11. Podstawa prawna

- 1) Ustawa z dnia 27 kwietnia 2001 r. Prawo ochrony środowiska (Dz. U. z 2019 r., poz. 1396 ze zm.)
- 2) Rozporządzenie Ministra Zdrowia z dnia 17 grudnia 2019 r. w sprawie dopuszczalnych poziomów pól elektromagnetycznych w środowisku (Dz. U. 2019, poz. 2448)
- 3) Rozporządzenie Ministra Klimatu z dnia 17 lutego 2020 r. w sprawie sposobów sprawdzania dotrzymania dopuszczalnych poziomów pól elektromagnetycznych w środowisku (Dz. U. 2020, poz. 258),
- 4) PN-74/ T – 06260. Źródła promieniowania elektromagnetycznego. Znaki Ostrzegawcze.
- 5) Akredytacja nr AB 419 wydana przez Polskie Centrum Akredytacji (wydanie 16, z dnia 25 lutego 2020r.).

12. Spis załączników

- Załącznik 1. Lokalizacja obiektu badań
Załącznik 2. Usytuowanie pionów (punktów) pomiarowych
Załącznik 3. Dokumentacja fotograficzna obiektu badań

13. Data wydania i autoryzowania sprawozdania - 15 lipca 2020.

Obliczenia i sprawozdanie wykonał :


Sprawozdanie autoryzował:

NetWorkSI Sp. z o.o.
Starszy specjalista
ds. opracowywania sprawozdań
Laboratorium
Badań Środowiskowych



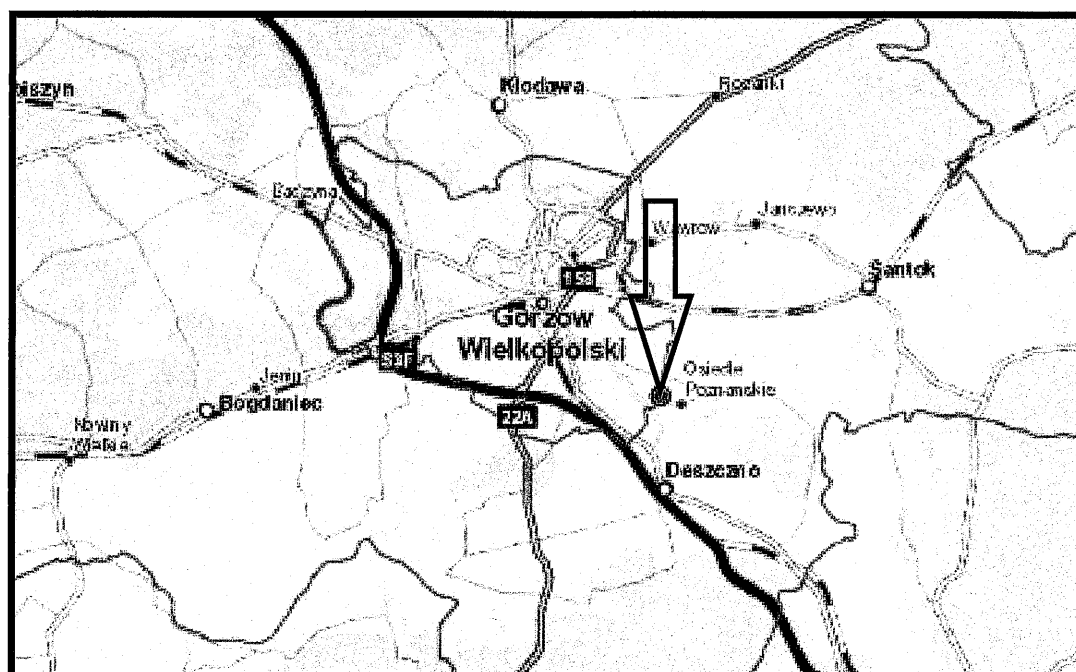
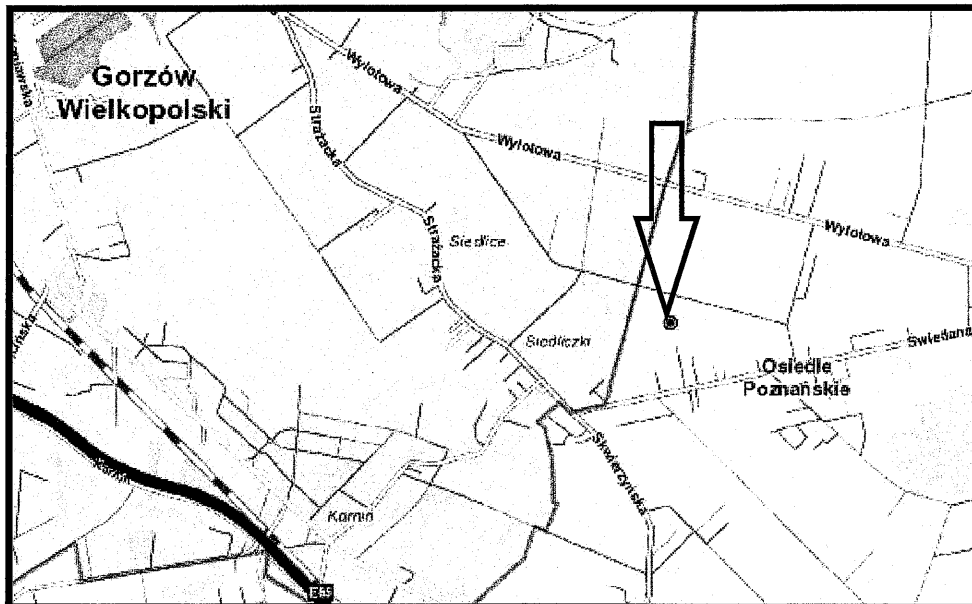
Magdalena Niewiadomska

NetWorkSI Sp. z o.o.
Starszy Specjalista ds. pomiarów
Laboratorium
Badań Środowiskowych



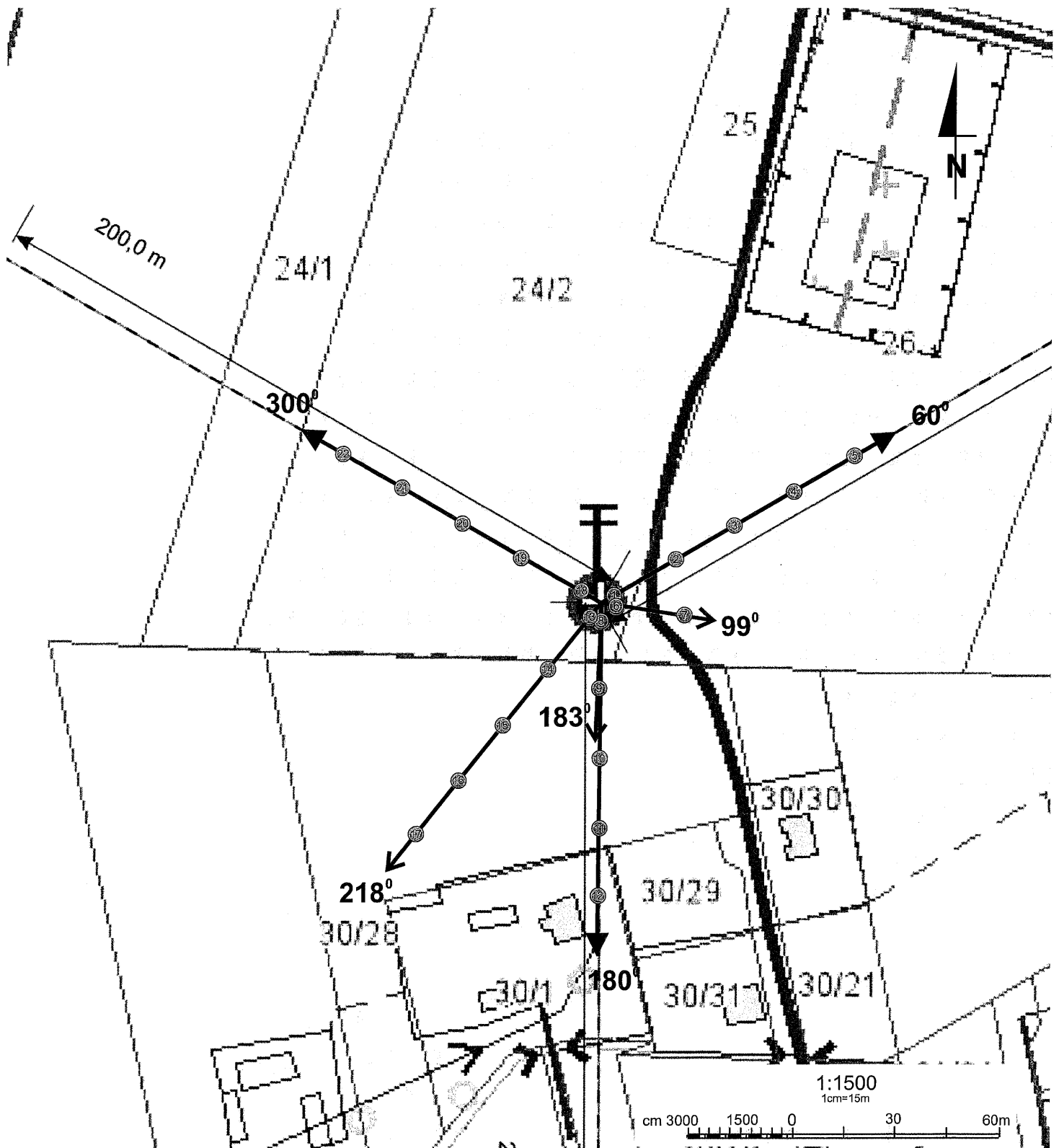
Koniec sprawozdania










Sprawozdanie z badań bez pisemnej zgody laboratorium nie może być powielane inaczej niż w całości.
Wynik przedstawione w niniejszym sprawozdaniu odnoszą się wyłącznie do badanego obiektu i do warunków i konfiguracji urządzeń w dniu wykonywania pomiarów.



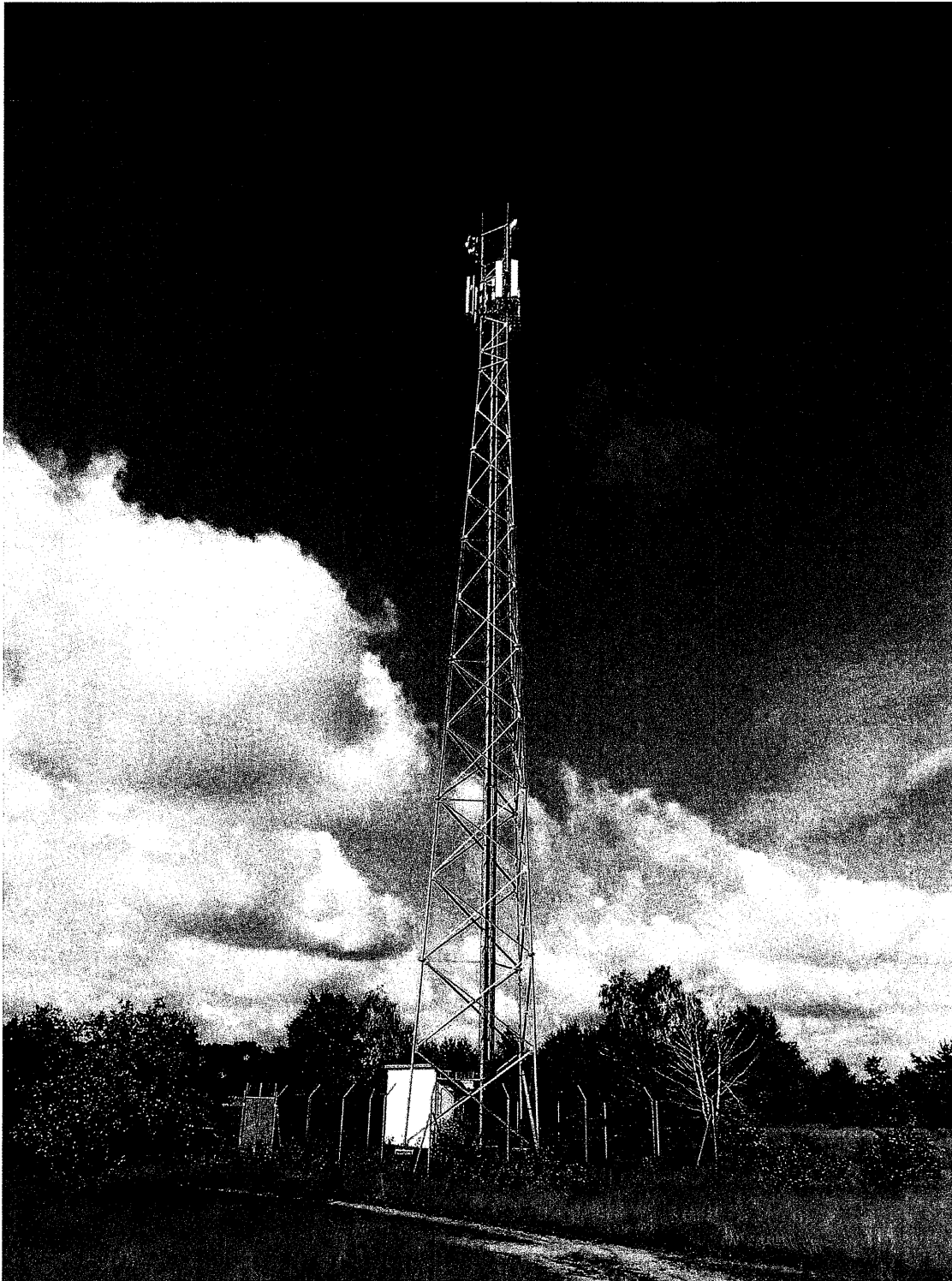
Załącznik nr 1	INSTALACJA RADIOKOMUNIKACYJNA T-Mobile Polska S.A. 42117 (62117N!) PGO_DESZCZNO_POZNANSKIE Lokalizacja instalacji radiokomunikacyjnej
----------------	--

Sprawozdanie z badań bez pisemnej zgody laboratorium nie może być powielane inaczej niż w całości.
Wynik przedstawione w niniejszym sprawozdaniu odnoszą się wyłącznie do badanego obiektu i do warunków i konfiguracji urządzeń w dniu wykonywania pomiarów.



Załącznik nr 2	INSTALACJA RADIOKOMUNIKACYJNA T-Mobile Polska S.A. 42117 (62117N!) PGO_DESZCZNO_POZNANSKIE Usytuowanie pionów pomiarowych w otoczeniu instalacji radiokomunikacyjnej			
SKALA 1:1500	Legenda: <table style="display: inline-table; vertical-align: middle; margin-left: 20px;"> <tr> <td style="text-align: center; vertical-align: middle;">  Pion pomiarowy </td> <td style="text-align: center; vertical-align: middle; margin-left: 20px;">  Kierunek oddziaływania anten sektorowych </td> <td style="text-align: center; vertical-align: middle; margin-left: 20px;">  Kierunek oddziaływania anten radioliniowych </td> </tr> </table>	 Pion pomiarowy	 Kierunek oddziaływania anten sektorowych	 Kierunek oddziaływania anten radioliniowych
 Pion pomiarowy	 Kierunek oddziaływania anten sektorowych	 Kierunek oddziaływania anten radioliniowych		

Sprawozdanie z badań bez pisemnej zgody laboratorium nie może być powielane inaczej niż w całości.
 Wynik przedstawione w niniejszym sprawozdaniu odnoszą się wyłącznie do badanego obiektu i do warunków i konfiguracji urządzeń w dniu wykonywania pomiarów.



Załącznik nr 3

INSTALACJA RADIOKOMUNIKACYJNA T-Mobile Polska S.A. 42117 (62117N!) PGO_DESZCZNO_POZNANSKIE
Zdjęcia instalacji radiokomunikacyjnej

Sprawozdanie z badań bez pisemnej zgody laboratorium nie może być powielane inaczej niż w całości.
Wynik przedstawione w niniejszym sprawozdaniu odnoszą się wyłącznie do badanego obiektu i do warunków i konfiguracji urządzeń w dniu wykonywania pomiarów.

